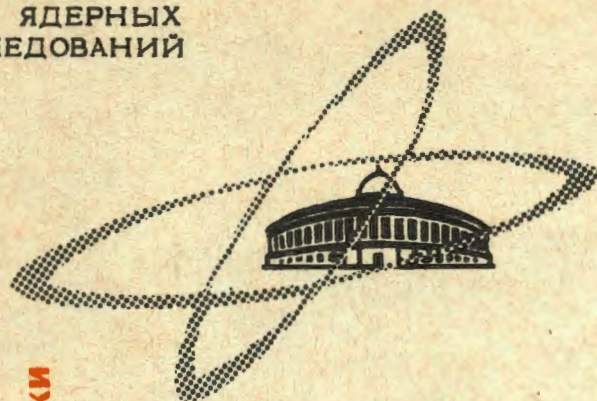


М - 36

ОБЪЕДИНЕННЫЙ  
ИНСТИТУТ  
ЯДЕРНЫХ  
ИССЛЕДОВАНИЙ

Дубна

P9 - 3979



В.Г.Маханьков, В.Н.Цытович, Б.Г.Щинов

НЕЛИНЕЙНЫЕ НЕУСТОЙЧИВОСТИ  
ЛЕНГМЮРОВСКИХ ВОЛН В ОБЛАСТИ ЧАСТЫХ  
КУЛОНОВСКИХ СОУДАРЕНИЙ

Лаборатория вычислительной техники  
и автоматизации

1968

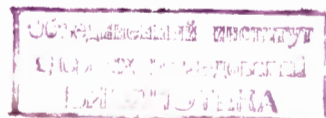
P9 - 3979

2428/3 изо

В.Г.Маханьков, В.Н.Цытович, Б.Г.Щинов

НЕЛИНЕЙНЫЕ НЕУСТОЙЧИВОСТИ  
ЛЕНГМЮРОВСКИХ ВОЛН В ОБЛАСТИ ЧАСТЫХ  
КУЛОНОВСКИХ СОУДАРЕНИЙ

Направлено в ЖТФ



1. В работе<sup>/1/</sup> были найдены общие формулы для нелинейных токов плазмы в области частых соударений

$$|\omega_{\perp} - \mathbf{k}_{\perp} \mathbf{v}_{Ta}| \ll \nu_e, \nu_i \ll |\omega_{1,2} - \mathbf{k}_{1,2} \mathbf{v}_{Ta}|, \quad (1)$$

где  $\mathbf{k}_1, \mathbf{k}_2, \omega_1, \omega_2$  – волновые векторы и частоты взаимодействующих волн, а  $\omega_{\perp} = \omega_1 - \omega_2$ ,  $\mathbf{k}_{\perp} = \vec{\mathbf{k}}_1 - \vec{\mathbf{k}}_2$ ,  $\nu_e$  – частота электрон-электронных и электрон-ионных соударений, и, наконец,  $\nu_i = \nu_e \left( \frac{m_e}{m_i} \right)^{\frac{1}{2}} \left( \frac{T_e}{T_i} \right)^{\frac{1}{2}}$  – частота ион-ионных соударений. Там же были исследованы нелинейные взаимодействия ленгмюровских волн в области  $\omega_{\perp} \ll \mathbf{k}_{\perp} \mathbf{v}_{Ti}$ . Именно эта область обычно представляет интерес в бессоударительном случае, так как из законов сохранения следует, что эффективное нелинейное рассеяние на ионах возможно лишь в этой области. В<sup>/1/</sup> было выявлено, что эффективность нелинейных взаимодействий при учёте влияния кулоновских соударений может возрастать. Вместе с тем условие  $\omega_{\perp} \ll \mathbf{k}_{\perp} \mathbf{v}_{Ti}$  при наличии соударений частиц не является определяющим для эффективности нелинейного взаимодействия. Это связано с тем, что в условиях частых соударений нелинейные взаимодействия не могут быть интерпретированы просто как индуцированное рассеяние на частицах и не подчиняются закону сохранения  $\omega_{\perp} = \vec{\mathbf{k}}_{\perp} \vec{\mathbf{v}}$ . Кроме того, нелинейные взаимодействия изменяют дисперсию волн и увеличивают  $\omega_{\perp}$ , что может приводить к возникновению гидродинамических нелинейных неустойчивостей.

Настоящая работа посвящена подробному исследованию случая  $\omega_{\perp} \gg \mathbf{k}_{\perp} \mathbf{v}_{Ti}$ , т.е. случая, когда в бессоударительном режиме нелинейные

взаимодействия ослаблены, и рассеяние происходит только на электронах. При этом возникает значительный эффект компенсации. Любопытно отметить, что хотя интерпретация нелинейных взаимодействий как рассеяния в нашем случае неправомерна, тем не менее компенсация имеет место и при частых столкновениях. Здесь также возникают эффекты, пропорциональные диссиликативным процессам из-за кулоновских соударений. Эти диссиликативные процессы могут быть связаны как с электронами (электронная теплопроводность, вязкость и др), так и с ионами (ионная вязкость, трение и др.). В бессударительном случае такая диссиликатия соответствовала затуханию Ландау для разностной волны  $\omega_{\perp}$ . В данном случае по характеру диссиликатии мы будем так же подразделять нелинейные взаимодействия на электронные и ионные. Условность этого подразделения видна хотя бы из того, что в электронные члены входят квадраты модулей ионных частей. Кстати, аналогичная ситуация имела место и в бессударительном случае и интерпретировалась как влияние поляризации ионов на нелинейное рассеяние на электронах при  $v_{\phi}^{1/2} > v_{te} \sqrt{m_i/m_e}$ .

2. Нелинейная поправка к частоте ленгмюровских колебаний определяется формулой:

$$\omega - \omega_k^l = \delta \omega_k + i \gamma_k = \int \Sigma (k, k_1) |E_{k_1}^{\rightarrow}|^2 d\vec{k}_1 , \quad (2)$$

где  $\omega_k^l$  – линейный спектр,  $\delta \omega_k$  – действительная поправка к частоте, связанная с нелинейным взаимодействием,  $\gamma_k$  – "пикремент спектральной перекачки,  $|E_k^{\rightarrow}|^2$  – квадрат амплитуды поля ленгмюровских колебаний. Заметим, что это уравнение было получено для стационарной турбулентности ленгмюровских волн<sup>1/1</sup>. В этом случае  $|E_{k_1}^{\rightarrow}|^2$  описывает спектр стационарных турбулентных пульсаций. Однако уравнение (2) может быть получено для очень узкого (в пределе  $\delta$  – образного) спектра интенсивных ленгмюровских волн и описывает эффекты нелинейной неустойчивости слабых ленгмюровских волн, локализованных в других областях спектра<sup>3/</sup>. В этом случае в (2) следует положить  $|E_{k_1}^{\rightarrow}|^2 = |E_{k_{10}}^{\rightarrow}|^2 \delta(\vec{k}_1 - \vec{k}_{10})$ ,

где  $|E|^2/4\pi$  – энергия интенсивной ленгмюровской волны. Конкретные выражения для  $\Sigma$  были получены в работе<sup>1/</sup>:

$$\Sigma(k, k_1) = -i \left( \frac{\vec{k} \vec{k}_1}{k k_1} \right)^2 \frac{1,71 \nu_e |\vec{k}_-|^2 e^2}{\omega_{0e} \omega_- m_e^2 \Omega \Omega_e} \left( 1 - \frac{\epsilon_e(k_-)}{\epsilon(k_-)} \right), \quad (3)$$

где

$$\epsilon(k_-) = 1 + \epsilon_e(k_-) + \epsilon_i(k_-) \quad (4)$$

$$\epsilon(k_-) = 1 + i \frac{\omega_{0e}^2}{\kappa \omega_- \omega_e} + i \frac{\omega_{0i}^2}{\kappa \omega_- \omega_i} \quad (5)$$

$$\Omega = 0,51 \nu_e + i \frac{\vec{k}_-^2 v_{Te}^2}{\omega_-} \left( 1 - 2,96 i \frac{\omega_-}{\Omega_e} \right) \quad (6)$$

$$\Omega_e = -\frac{3}{2} i \omega_- + 3,16 \frac{\vec{k}_-^2 v_{Te}^2}{\nu_e} \quad (7)$$

$$\Omega_i = -\frac{3}{2} i \omega_- + 3,9 \frac{\vec{k}_-^2 v_{Ti}^2}{\nu_i} \quad (8)$$

$$\kappa = 1 + (0,51 \nu_e + 1,22 \frac{\vec{k}_-^2 v_{Te}^2}{\Omega_e}) \left( \frac{1}{\omega_e} + \frac{m_e}{m_i} \frac{1}{\omega_i} \right) \quad (9)$$

$$\omega_e = i \frac{\vec{k}_-^2 v_{Te}^2}{\omega_-} \left( 1 - 1,71 \frac{\omega_-}{\Omega_e} \right) \quad (10)$$

$$\omega_i = -i \omega_- + i \frac{\vec{k}_-^2 v_{Ti}^2}{\omega_-} \left( 1 - \frac{i \omega_-}{\Omega_i} - 1,28 \frac{i \omega_-}{\nu_i} + 0,71 i \frac{T_e}{T_i} \frac{\omega_-}{\Omega_e} \right) \quad (11)$$

<sup>x/</sup> Следует заметить, что выражения (3)–(11) справедливы в пределе  $\omega_- \gg \frac{m_e}{m_i} \nu_e$ .

Область применимости выписанных выражений ограничена неравенством  $\omega_- < k_- v_{Te}$ . Приводимые ниже результаты справедливы при  $\omega_- > \frac{k_- v_{Te}^2}{\nu_e}$  и в двух предельных случаях 1)  $\omega_- \ll \frac{k_-^2 v_{Te}^2}{\nu_e}$  и 2)  $\omega_- \gg \frac{k_-^2 v_{Te}^2}{\nu_e}$ .

3. Рассмотрим нелинейные взаимодействия в области  $\omega_- \ll \frac{k_-^2 v_{Te}^2}{\nu_e}$ .

При этом, используя соотношения (3) – (11), получим

$$\begin{aligned} \Sigma(\vec{k}, \vec{k}_1) = & \left( \frac{\vec{k} \cdot \vec{k}_1}{k_1} \right)^2 \frac{0,54 \frac{\nu_e e^2}{m_e \omega_- m_e^2 v_{Te}^2}}{1 - \frac{\nu_e \omega_-}{k_-^2 v_{Te}^2} \left( \frac{\frac{m_e}{m_1}}{\frac{m_e}{m_1} - \frac{\omega_-^2}{k_-^2 v_{Te}^2}} \right)} \\ & \cdot \left( 1 + 1,93 i \frac{\omega_- \nu_e}{k_-^2 v_{Te}^2} + \frac{\frac{m_e}{m_1} - \frac{\omega_-^2}{k_-^2 v_{Te}^2}}{1 - \frac{\omega_-^2}{k_-^2 v_{Te}^2}} \left[ 0,54 \frac{\omega_- \nu_e}{k_-^2 v_{Te}^2} + \frac{k_-^2 v_{Te}^2}{\nu_1 \omega_-} (1,28 - 0,22 \frac{T_e}{T_1} \frac{\nu_1 \nu_e}{k_-^2 v_{Te}^2}) \right] \right). \end{aligned} \quad (12)$$

В случае изотермической плаэмы (точнее  $(T_e/T_1) \geq 1$ ) выражение (12) легко можно упростить, используя неравенство  $(\omega_-^2/k_-^2 v_{Te}^2) \gg m_e/m_1$ , поэтому

$$\Sigma(\vec{k}, \vec{k}_1) = 0,54 \left( \frac{\vec{k} \cdot \vec{k}_1}{k_1} \right)^2 \frac{e^2 \nu_e}{\omega_0 \omega_- m_e^2 v_{Te}^2} \frac{\frac{m_e}{m_1} \frac{\nu_e}{\omega_-} (1 + 1,39 i \frac{\omega_- \nu_e}{k_-^2 v_{Te}^2} - i 1,28 \frac{k_-^2 v_{Te}^2}{\nu_1 \omega_-})}{1 - \frac{\omega_-^2}{k_-^2 v_{Te}^2}}.$$

Рассмотрим случай, когда вклад ионных диссипативных членов в нелинейное взаимодействие при  $\omega_- \ll \frac{k_-^2 v_{Te}^2}{\nu_e}$  пренебрежимо мал. Тогда нелинейное взаимодействие целиком определяется электронными членами. При этом инкремент "кинетической" неустойчивости есть

$$\gamma_k = \text{Im} \int \Sigma(\vec{k}, \vec{k}_1) |E_{k_1}|^2 dk_1 = 0,75 \omega_0 \frac{\nu_e^2}{\omega_-^2} \frac{\frac{m_e}{m_1}}{1 - \frac{\omega_-^2}{k_-^2 v_{Te}^2}} \int \left( \frac{\vec{k} \cdot \vec{k}_1}{k_1} \right)^2 \frac{\omega_- \nu_e}{k_-^2 v_{Te}^2} W_{k_1}^* dk_1 \quad (14)$$

$$W_{k_1}^* = \frac{1}{4\pi} \frac{|E_{k_1}|^2}{n_0 T_e}.$$

Нужно отметить важный эффект, состоящий в том, что направление спектральной перекачки, определяемой соотношением (14), противоположно направлению бессоударительной спектральной перекачки. Изменение направления спектральной перекачки при наличии частых соударений для виртуальной волны было обнаружено в <sup>1/1</sup>. Однако нелинейная неустойчивость, обнаруженная в <sup>1/1</sup>, носила гидродинамический характер. Здесь же (14) описывает кинетическую неустойчивость. В <sup>1/1</sup> было показано, что в области  $\omega \ll k_- v_{T_1}$  кинетическая неустойчивость обычно задавлена линейным затуханием. Покажем, что в рассмотренной здесь области  $\omega \gg k_- v_{T_1}$  кинетическая нелинейная неустойчивость может намного превосходить линейное затухание даже в области, когда нелинейным изменением дисперсии можно пренебречь. Инкремент (14) по порядку величины может быть оценен, как ( $W = \int W_k^* d\vec{k}$ )

$$\gamma \approx \omega_{0e} \frac{\nu_e^2}{\omega_-^2} - \frac{m_e}{m_i} \frac{\omega_- \nu_e}{k_-^2 v_{Te}^2} W. \quad (15)$$

Оценим ширину области, в которой спектральная перекачка определяется инкрементом (14). Из условия  $\omega_- < \frac{k_-^2 v_{Te}^2}{\nu_e}$  и  $\omega_- > k_- v_{T_1}$  следует, что область изменения  $\omega_-$  существует, если

$$\frac{k_-^2 v_{Te}^2}{\nu_e} \gg k_- v_{T_1} \quad (16)$$

или (или  $k_- = k$ )

(16a)

$$N_D < \frac{v_\phi}{v_{Te}} \ll N_D \left( \frac{T_e}{T_1} \right)^{1/2} \left( \frac{m_e}{m_i} \right)^{1/2}.$$

Из последнего соотношения следует, что область изменения  $\omega_-$  существует даже для изотермической водородной плазмы.

Подчеркнем, что в случае, когда  $\omega_-$  определяется линейной дисперсией, связанный с тепловым движением, область возможных значений  $v_\phi$  сокращается и определяется неравенством

$$N_D < \frac{v_\phi}{v_{Te}} < \left( \frac{T_e}{T_i} \right)^{1/2} \left( \frac{m_i}{m_e} \right)^{1/2} \quad (17)$$

или

$$N_D \ll \left( \frac{T_e}{T_i} \right)^{1/2} \left( \frac{m_i}{m_e} \right)^{1/2}. \quad (18)$$

Отметим, кроме того, что в этом случае действительная часть уравнения (2) определяет несущественные действительные поправки к частоте.

В случае, когда мы пренебрегаем нелинейным изменением дисперсии, оценка нелинейного инкремента (15) имеет вид

$$y \approx \nu_e \left( \frac{v_\phi}{v_{Te}} \right)^4 - \frac{1}{N_D^2} - \frac{m_e}{m_i} W. \quad (19)$$

Этот инкремент превосходит частоту соударений  $\nu_e$  при

$$\frac{v_\phi}{v_{Te}} > N_D^{1/2} \left( \frac{m_i}{m_e} \right)^{1/4} W^{-1/4}. \quad (20)$$

Сопоставляя это с (17), мы получаем

$$W > N_D^2 \left( \frac{m_e}{m_i} \right)^{1/2} \left( \frac{T_i}{T_e} \right)^2 . \quad (21)$$

Из  $W \ll 1$  получаем, что

$$N_D < \left( \frac{m_i}{m_e} \right)^{1/4} \frac{T_e}{T_i} . \quad (22)$$

Заметим теперь, что нелинейная электронная перекачка превалирует над ионной, если

$$1 > \frac{\omega_{\perp}^2 v_{te}^2}{k_{\perp}^4 v_{te}^4} > \left( \frac{T_i}{T_e} \right)^{3/2} \left( \frac{m_e}{m_i} \right)^{1/2} \quad (23)$$

или для слабого нелинейного изменения дисперсии

$$N_D < \left( \frac{T_e}{T_i} \right)^{3/4} \left( \frac{m_i}{m_e} \right)^{1/4} . \quad (24)$$

Наиболее жесткое из условий (18), (22), (24) определяет область параметров, для которых происходит изменение направления перекачки.

Заметим, что изменение направления рассмотренной спектральной перекачки целиком связано с эффектами компенсации и поэтому отсутствует (для линейной дисперсии) в области  $\omega_{\perp} \ll k_{\perp} v_{te}$ . Отметим также, что изменение направления перекачки происходит только при достаточно сильной интенсивности  $W$ , удовлетворяющей условию (21), и в достаточно плотной среде.

Рассмотрим случай, когда интенсивность ленгмюровских пульсаций настолько велика, что  $\omega_-$  определяется нелинейными эффектами. Представляет интерес исследовать действительную часть уравнения (2) с учётом (13).

$$\delta\omega_{\vec{k}} + i\nu_e = \operatorname{Re} \int \sum |E_{\vec{k}_1}|^2 d\vec{k}_1 = 0,54 \omega_{0e} \frac{m_e}{m_i} \int \left( \frac{\vec{k} \cdot \vec{k}_1}{k k_1} \right)^2 \frac{\nu_e^2}{\omega_-^2} (1 + 1,38 i \frac{\omega_- \nu_e}{k^2 v_{Te}^2}) W_{\vec{k}_1} d\vec{k}_1 \quad (25)$$

Полученное уравнение аналогично рассмотренному в<sup>1/</sup> и имеет комплексные решения, причем  $\operatorname{Re} \delta\omega = \operatorname{Im} \delta\omega$ . Неустойчивость, связанную с такими решениями, будем называть "гидродинамической" в отличие от (14).

Рассмотрим более подробно случай, когда интенсивная волна представляют собой весьма узкий пакет ленгмюровских волн<sup>x/</sup>. В этом случае

$$\delta\omega_{\vec{k}} + i\nu_e = [0,54 \frac{\omega_{0e} \frac{m_e}{m_i}}{(\delta\omega_{\vec{k}} + \omega_{\vec{k}} - \omega_{\vec{k}_0})^2} - 1] \left( \frac{\vec{k} \cdot \vec{k}_0}{k k_0} \right)^2 \nu_e^2 W_{\vec{k}_0} + \quad (26)$$

$$+ 1,075 \omega_{0e} \frac{\nu_e}{(\delta\omega_{\vec{k}} + \omega_{\vec{k}} - \omega_{\vec{k}_0})} \frac{m_e}{m_i} \frac{\nu_e^2}{(k - k_0)^2 v_{Te}^2} W_{\vec{k}_0} \left( \frac{\vec{k} \cdot \vec{k}_0}{k k_0} \right)^2.$$

Учитывая, что второй член в правой части уравнения (26) меньше первого, будем решать (26) методом последовательных приближений.

Пусть  $\delta\omega_{\vec{k}} \gtrsim \omega_{\vec{k}} - \omega_{\vec{k}_0}$  и  $\delta\omega_{\vec{k}} \ll \nu_e$ , тогда возникает нелинейная диссипативная неустойчивость слабых ленгмюровских волн в поле интенсивных, при этом

<sup>x/</sup> Как было отмечено выше, уравнение (25) справедливо и для неслучайных волн, поэтому ширина интенсивного пакета может быть сколь угодно малой.

$$\gamma_{\nu} = \frac{\omega_{0e}}{\sqrt{2}} \left( \frac{\nu_e}{\omega_{0e}} 0,54 \frac{m_e}{m_i} W_{k_0^*} \left( \frac{k k_0}{k k_0} \right)^2 \right)^{1/2} . \quad (27)$$

В том случае, когда  $\delta\omega \gg \nu_e$  ищем решение в виде  
 $\delta\omega_{\vec{k}} = \omega_{\vec{k}_0^*} - \omega_{\vec{k}} + \kappa$  (где  $\kappa \ll |\omega_{\vec{k}_0^*} - \omega_{\vec{k}}|$ ), получаем

$$\kappa^2 = \frac{1}{\omega_{\vec{k}_0^*} - \omega_{\vec{k}}} 0,54 \omega_{0e} \frac{m_e}{m_i} \left( \frac{k k_0}{k k_0} \right)^2 \nu_e^2 W_{k_0^*} . \quad (28)$$

Отсюда видно, что если  $\omega_{\vec{k}} - \omega_{\vec{k}_0^*} > 0$ , то имеет место нелинейная гидродинамическая неустойчивость с инкрементом

$$\gamma = \left( \frac{\omega_{0e}}{\omega_{\vec{k}} - \omega_{\vec{k}_0^*}} 0,54 \nu_e^2 \frac{m_e}{m_i} \left( \frac{k k_0}{k k_0} \right)^2 W_{k_0^*} \right)^{1/2} . \quad (29)$$

В противоположном случае  $\omega_{\vec{k}} - \omega_{\vec{k}_0^*} < 0$  уравнение (28) определяет нелинейную поправку к частоте того же порядка, что и  $\gamma$  в (29). Решая (26) по методу возмущений, получим:

$$\begin{aligned} \operatorname{Im} \kappa = 0,37 \frac{\nu_e^3}{(k - k_0^*)^2 v_{Te}^2} \left( \frac{\omega_{0e}}{\omega_{\vec{k}_0^*} - \omega_{\vec{k}}} \right) \frac{m_e}{m_i} \left( \frac{k k_0}{k k_0} \right)^2 W_{k_0^*} \pm \\ \pm \frac{i}{2} \frac{\nu_e^2}{\omega_{\vec{k}_0^*} - \omega_{\vec{k}}} [ 0,54 \frac{\omega_{0e}}{\omega_{\vec{k}_0^*} - \omega_{\vec{k}}} \frac{m_e}{m_i} \left( \frac{k k_0}{k k_0} \right)^2 W_{k_0^*} ]^{1/2} . \end{aligned} \quad (30)$$

Отсюда следует, что слабый пакет с  $\frac{\omega_k^l}{\omega_{-}v_e} < \omega_{k_0}^l$  также неустойчив, но инкремент этой неустойчивости в  $\frac{k_-^2 v_{Te}^2}{\omega_{-}^2}$  или  $\frac{v_e}{\omega_{k_0}^l - \omega_k^l}$  раз меньше инкремента неустойчивости слабого пакета с  $\omega_k^l > \omega_{k_0}^l$  (см. (28)).

Таким образом, в случае гидродинамической нелинейной неустойчивости  $\delta \omega_k \gg v_e$  интенсивный узкий пакет неизотропно расплывается с пре- имущественным направлением в сторону больших волновых чисел, при этом развитие неустойчивости происходит и в области частых соударений. Однако инкремент такой неустойчивости меньше частоты соударений  $v_e$ .

4. Рассмотрим нелинейное взаимодействие в пределе

$$\omega_- \gg \frac{k_-^2 v_{Te}^2}{v_e}. \quad (31)$$

После несложных, но довольно громоздких выкладок можно получить

$$\Sigma(\vec{k}, \vec{k}_1) = \left( \frac{k_- k_1}{k_- k_1} \right)^2 2,24 \frac{k_-^2 e^2}{\omega_-^2 m_e^2 \omega_{0e}} \frac{\frac{m_e}{m_1}}{\frac{m_e}{m_1} - 0,47 \frac{\omega_-^2}{k_-^2 v_{Te}^2} (1 + 0,48 \frac{T_e}{T_1} \frac{k_-^2 v_{Te}^2}{\omega_-^2})} (1 - 7,9 \frac{k_-^2 v_{Te}^2}{\omega_- v_e} + \dots) \quad (32)$$

$$+ i \frac{0,47 \frac{\omega_-^2}{k_-^2 v_{Te}^2}}{\frac{m_e}{m_1} - 0,47 \frac{\omega_-^2}{k_-^2 v_{Te}^2} (1 + 0,48 \frac{T_e}{T_1} \frac{k_-^2 v_{Te}^2}{\omega_-^2})} [1,28 \frac{k_-^2 v_{Te}^2}{\omega_- v_1} + 1,01 \frac{k_-^2 v_{Te}^2}{\omega_-^2} \frac{k_-^2 v_{Te}^2}{\omega_- v_e} \frac{T_e}{T_1} - 1,12 \frac{k_-^2 v_{Te}^2}{v_e \omega_-}] \dots$$

Из неравенства (31) следует, что выражение (21) (при  $k_- \approx k$ ), имеет место только в том случае, когда интенсивность ленгмюровских волн достаточно велика, чтобы  $\omega_-$  определялась нелинейным взаимодействием.

Действительно, в противном случае  $\omega_- \approx \frac{k_-^2 v_{Te}^2}{\omega_{0e}}$ , или  $\frac{\omega_-}{k_-^2 v_{Te}^2} = \frac{1}{\omega_{0e}}$ , что несовместимо с  $\omega_- \gg \frac{k_-^2 v_{Te}^2}{v_e}$  при  $k_- \approx k$ . Из выражения (2) с учётом (32) легко может быть оценена минимальная интенсивность ленг-

мюровских колебаний, при которой может быть выполнено неравенство (31)

$$W \geq -\frac{m_1}{m_e} \left( \frac{v_{Te}}{v_\phi} \right)^6.$$

Для простоты исследуем наиболее интересный случай  $\omega_-^2 \gg k_-^2 v_{Te}^2 \frac{m_e}{m_1}$ .

При этом формула (32) значительно упрощается

$$\Sigma(\vec{k}, \vec{k}_1) = -\frac{4,8 (\vec{k} \cdot \vec{k}_1)^2 k_-^2 e^2 \left( \frac{m_e}{m_1} \right)}{k_-^2 k_1^2 \omega_-^2 \frac{m_e^2}{m_1} \omega_{0e}^2} \frac{k_-^2 v_{Te}^2}{\omega_-^2} \left\{ 1 - 6,78 i \frac{k_-^2 v_{Te}^2}{\omega_- \nu_e} \right\}. \quad (33)$$

Уравнение, описывающее нелинейные неустойчивости, имеет в этом случае вид

$$\delta \omega_{\vec{k}} + i \nu_e = \frac{-4,8 \omega_{0e} \frac{m_e}{m_1} v_{Te}^4}{(\delta \omega_{\vec{k}} + \omega_{\vec{k}} - \omega_{\vec{k}_0})^4} \rightarrow \left( \frac{\vec{k} \cdot \vec{k}_0}{k_- k_0} \right)^2 \left( \vec{k} - \vec{k}_0 \right)^4 W_{\vec{k}_0} + \\ (34)$$

$$\cdot \left( 1 - 6,78 i \frac{(\vec{k} - \vec{k}_0)^2 v_{Te}^2}{(\delta \omega_{\vec{k}} + \omega_{\vec{k}} - \omega_{\vec{k}_0}) \nu_e} \right).$$

При этом предполагается, что интенсивная волна представляет собой весьма узкий пакет (аналогично п.3). Если  $\nu_e \gg \delta \omega_{\vec{k}} > \omega_{\vec{k}}^2 - \omega_{\vec{k}_0}^2$ , то инкремент нелинейной дисспативной неустойчивости равен

$$\gamma_\nu = 0,92 \left( \frac{\vec{k} \cdot \vec{k}_0}{k_- k_0} \right)^{1/2} \left( \frac{(\vec{k} - \vec{k}_0)^4 v_{Te}^4}{\nu_e} - \frac{m_e}{m_1} W_{\vec{k}_0} \omega_{0e} \right)^{1/4}. \quad (35)$$

В случае, когда  $\delta\omega \gg \nu_e$ , решение имеет вид  $\delta\omega_{\vec{k}} = \omega_{\vec{k}_0} - \omega_{\vec{k}}^l + \kappa$ , где  $\kappa \ll |\omega_{\vec{k}_0} - \omega_{\vec{k}}^l|$  и равна

$$\kappa^4 = -\frac{4,8 \omega_{0e}}{\omega_{\vec{k}_0} - \omega_{\vec{k}}} \left( \frac{\vec{k} \vec{k}_0}{k k_0} \right)^2 (k - k_0)^4 v_{Te}^4 \left( \frac{m_e}{m_i} \right) W_{\vec{k}_0}. \quad (36)$$

При  $\omega_{\vec{k}_0} - \omega_{\vec{k}}^l > 0$  возникает неустойчивость с инкрементом

$$\gamma = \frac{1,49}{\sqrt{2}} \left[ \frac{\omega_{0e}}{\omega_{\vec{k}_0} - \omega_{\vec{k}}} \left( \frac{\vec{k} \vec{k}_0}{k k_0} \right)^2 (k - k_0)^4 v_{Te}^4 \frac{m_e}{m_i} W_{\vec{k}_0} \right]^{1/4}. \quad (37)$$

Если же  $\omega_{\vec{k}}^l - \omega_{\vec{k}_0} > 0$ , то инкремент неустойчивости в  $\sqrt{2}$  раз больше инкремента, определяемого выражением (37). Заметим, что в данном случае кинетический инкремент в  $\frac{k^2 v_{Te}}{\omega_{\vec{k}_0} - \omega_{\vec{k}}}$  или  $\frac{\nu_e}{\omega_{\vec{k}_0} - \omega_{\vec{k}}}$  раз меньше гидродинамического независимо от знака разности.

5. До сих пор везде предполагалось, что  $\omega_- > k_- v_{Ti}$ . Рассмотрим теперь случай, когда  $\omega_- \approx k_- v_{Ti}$ .

При этом  $\operatorname{Re} \epsilon(k_-) \approx 0$ , но  $\operatorname{Im} \epsilon(k_-) \neq 0$  (см. <sup>1/</sup>). После несложных выкладок получим

$$\Sigma(\vec{k}, \vec{k}_1) = \frac{0,54 e^2 \nu_e^2}{\omega_{0e} \frac{m_e^2 k^2 - v_{Te}^2}{m_i} - \omega_-^2} \left( \frac{\vec{k} \vec{k}_1}{k k_1} \right)^2 \frac{\frac{m_e}{m_i}}{\frac{m_e}{m_i} - \frac{\omega_-^2}{k_-^2 v_{Te}^2} \left( 1 - \frac{k_-^2 v_{Ti}^2}{\omega_-^2} \frac{5}{3} \right)} \cdot B$$

---

<sup>1/</sup> Учитывая, что в формуле (7) мы пренебрегли величиной  $\frac{m_e}{m_i} \nu_e$  в сравнении с  $(k_-^2 v_{Te}^2 / \nu_e)$ , мы можем получить следующее соотношение (используя (31)):  $\omega_- > \sqrt{\frac{m_e}{m_i} \nu_e}$ , при выполнении которого справедливы формулы (34) – (37).

$$B = \left\{ 1 + 0,54 i \frac{\omega - \nu_e}{k^2 v_{T1}^2} + \frac{\frac{5}{3} \frac{k^2 v_{T1}^2}{\omega_-^2}}{1 - \frac{k^2 v_{T1}^2}{\omega_-^2} \cdot \frac{5}{3}} \left[ -1,731 \frac{k^2 v_{T1}^2}{\nu_1 \omega_-} - 1,28 i \frac{\omega_-}{\nu_1} + i \frac{T_e}{T_1} 0,22 - \frac{\nu_e \omega_-}{k^2 v_{T1}^2} \right] \right\} \quad (39)$$

в первом пределе при  $\omega_- \ll \frac{k^2 v_{T1}^2}{\nu_e}$ , и

$$\Sigma(\vec{k}, \vec{k}_1) = \frac{4,74}{2,14 \omega_{0e} m_e^2 \omega_-^2} \left( \frac{k^2}{k k_1} \right)^2 \frac{\frac{m_e}{m_1}}{\left( \frac{m_e}{m_1} - \frac{\omega_-^2}{2,14 k^2 v_{T1}^2} \right) \left[ 1 - \frac{k^2 v_{T1}^2}{\omega_-^2} \left( \frac{5}{3} - 0,48 \frac{T_e}{T_1} \right) \right] B_1} \quad (40)$$

$$B_1 = \left\{ 1 + 1,12 \frac{\frac{k^2 v_{T1}^2}{\omega_-^2} \left( \frac{5}{3} - 0,48 \frac{T_e}{T_1} \right)}{1 - \frac{k^2 v_{T1}^2}{\omega_-^2} \left( \frac{5}{3} - 0,48 \frac{T_e}{T_1} \right)} \left[ -1,731 \frac{k^2 v_{T1}^2}{\nu_1 \omega_-} - 1,28 i \frac{\omega_-}{\nu_1} + i \frac{T_e}{T_1} 1,01 - \frac{k^2 v_{T1}^2}{\nu_e \omega_-} \right] \right\}$$

во втором пределе при  $\omega_- \gg \frac{k^2 v_{T1}^2}{\nu_e}$ .

Приравнивая действительную часть  $\epsilon$  нулю <sup>/3/</sup>, имеет в первом случае

$$\omega_- = k_{-} v_{T1} \sqrt{\frac{5}{3}} + \frac{T_e}{T_1} \quad (41)$$

и

$$\omega_- = k_{-} v_{T1} \sqrt{\frac{10}{3}} \quad (42)$$

во втором случае.

Выражение (41) для  $\omega_-$  – необходимо подставить в  $\text{Im } \Sigma$ , из которой получим порядок инкремента возникающей нелинейной неустойчивости

$$\gamma \approx \frac{\frac{m_e}{m_1} \left( \frac{\nu_e}{\omega_-} \right)^2 - \frac{\omega_{0e} W_{k_0}^2}{\frac{k^2 v^2}{T_1} + \frac{\nu_e \omega_-}{k^2 v^2 T_e} - \frac{T_e}{T_1}}}{\frac{\nu_e \omega_-}{m_1} - \frac{k^2 v^2}{T_e}} \quad \text{при } \omega_- \ll \frac{k^2 v^2}{\nu_e}. \quad (43)$$

В условиях  $\omega_- \nu_e \gg k^2 v^2 T_e$  и  $\omega_-$ , определяемой из (42) кинетическая неустойчивость рассматриваемого типа не возникает (см., например, <sup>4/</sup>). Из (43) видно, что перекачка (в области  $\omega_- \nu_e \ll k^2 v^2 T_e$ ) может идти как в сторону уменьшения частот турбулентных пульсаций, так и в обратном направлении в зависимости от того, какая диссипация больше – ионная или электронная.

6. Проведенный анализ показывает, что в рассмотренной области  $\omega_- > k_- v_{T_1}$  направление спектральной перекачки может измениться уже в результате кинетической нелинейной неустойчивости, следовательно, для не очень интенсивных ленгмюровских колебаний <sup>x/</sup>. Заметим, что обнаружение изменение знака перекачки при кинетической неустойчивости представляет собой новый качественный эффект, возникающий лишь при учёте парных соударений частиц. Этот результат не зависит от характера распределения колебаний по спектру и других тонких моментов, от которых может зависеть гидродинамическая неустойчивость.

Здесь, как и в <sup>1/</sup>, мы не учитывали возможную обратную спектральную перекачку. Однако полученные результаты позволяют оценить её эффективность.

Следует отметить, что возникающая в определенных условиях гидродинамическая неустойчивость приводит к расплыванию узкого интенсивного пакета ленгмюровских волн, причём расплывание это не изотропно и имеет тенденцию к перекачке энергии в сторону увеличения волновых чисел.

---

<sup>x/1/</sup> В было показано, что в области  $\omega_- < k_- v_{T_1}$  нелинейные кинетические неустойчивости в условиях частых соударений для виртуальных волн обычно задавлены линейным затуханием.

Как уже отмечалось в <sup>1/</sup>, обычное деление нелинейных взаимодействий (в области частых соударений для виртуальной волны) на процессы индуцированного рассеяния и распадные, вообще говоря, теряет смысл. Вместе с тем в нелинейных взаимодействиях (в частности, спектральной перекачки) проявляются характерные резонансные эффекты, соответствующие стремлению к нулю знаменателя (точнее  $\operatorname{Re} \epsilon(\mathbf{k}_\perp) \rightarrow 0$ ) в формуле (3).

В случае достаточно широких стационарных спектров ленгмюровских волн имеет место соотношение (см., например: <sup>3/</sup>).

$$\operatorname{Im} \Sigma(\vec{\mathbf{k}}, \vec{\mathbf{k}}_1) = \operatorname{Im} \frac{1}{\epsilon(\mathbf{k}_\perp)} \approx -i\pi \delta[\operatorname{Re}(\epsilon_0(\mathbf{k}_\perp) + \epsilon_1(\mathbf{k}_\perp))] \frac{\omega_\perp}{|\omega_\perp|}. \quad (45)$$

Однако для узких спектров ленгмюровских волн <sup>x/</sup>, рассмотрением которых мы здесь ограничились (в целях простоты исследования), можно полагать

$$\operatorname{Im} \frac{1}{\epsilon(\mathbf{k}_\perp)} = -\frac{1}{\operatorname{Im} \epsilon(\mathbf{k}_\perp)}.$$

#### Л и т е р а т у р а

1. В.Г.Маханьков, В.Н.Цытович. ЖЭТФ, 58, №5 (1967).
2. В.Н.Цытович. Нелинейные эффекты в плазме. М. Изд-во "Наука" 1967 г.
3. В.Г.Маханьков, В.Н.Цытович, Препринт ОИЯИ Р-9 3978, Дубна 1968.

Рукопись поступила в издательский отдел

15 июля 1968 года.

---

<sup>x/</sup> Следует считать, что ширина спектра ленгмюровских волн меньше ширины резонансной кривой (4.5).